

Analyse de la Rupture de Fusibles à Haute Vitesse

Traitement d'Images de Radiographie à Rayons X

Oussama Guelfaa

7 mai 2025

Résumé

Ce rapport présente une méthode d'analyse de vidéos de radiographie à rayons X à haute vitesse pour mesurer la distance entre les éléments d'un fusible pendant un événement de rupture. Nous avons développé un pipeline de traitement d'images qui comprend la segmentation des éléments du fusible, la calibration basée sur les dimensions physiques connues, et la mesure précise de la distance entre les éléments au fil du temps. Les résultats montrent clairement la dynamique de rupture du fusible, avec une augmentation progressive de la distance après le point de rupture initial.

Table des matières

1	Introduction	2
2	Méthodologie	2
2.1	Approche de traitement d'images	2
2.2	Architecture du projet	2
3	Implémentation	3
3.1	Prétraitement des images	3
3.2	Segmentation des éléments du fusible	3
3.3	Mesure de la distance	4
3.4	Lissage des données	6
4	Résultats et analyse	6
4.1	Graphique de distance en fonction du temps	6
4.2	Images clés du processus de rupture	7
4.3	Observations clés	7
5	Défis et solutions	7
5.1	Défis de segmentation d'image	7
5.2	Défis de mesure	8
6	Conclusion	8
7	Perspectives	8

1 Introduction

Les fusibles à haute capacité de rupture (HRC) sont des composants de sécurité essentiels dans les systèmes électriques. Lorsqu'un court-circuit se produit, ces fusibles doivent se rompre rapidement pour protéger le circuit. L'analyse de la dynamique de rupture des fusibles est cruciale pour comprendre leur comportement et améliorer leur conception.

Ce projet analyse des vidéos de radiographie à rayons X à haute vitesse de fusibles industriels pour mesurer la distance entre les éléments du fusible pendant les événements de rupture. Il traite les images vidéo pour suivre l'évolution de l'écart entre les éléments du fusible au fil du temps lorsqu'un arc électrique est généré.

2 Méthodologie

2.1 Approche de traitement d'images

Notre approche utilise un pipeline de traitement d'images en plusieurs étapes pour analyser les vidéos de radiographie à rayons X :

1. **Prétraitement :**

- Application d'un flou gaussien pour réduire le bruit
- Utilisation du seuillage d'Otsu pour une binarisation optimale des images à rayons X
- Application d'opérations morphologiques (ouverture et fermeture) pour nettoyer l'image binaire

2. **Segmentation :**

- Analyse des composantes connexes pour identifier les régions distinctes
- Filtrage basé sur la surface pour éliminer le bruit
- Identification des éléments principaux du fusible

3. **Calibration :**

- Utilisation de la hauteur connue (H) du fusible (2 mm) comme référence
- Calcul du ratio pixels/millimètre pour des mesures précises

4. **Mesure de distance :**

- Identification des éléments gauche et droit du fusible
- Mesure de l'écart entre eux en pixels
- Conversion en millimètres à l'aide du facteur de calibration
- Application d'un lissage pour réduire le bruit de mesure

2.2 Architecture du projet

Le projet suit une architecture modulaire avec une séparation claire des préoccupations :

- **VideoProcessor** : Gère le chargement de la vidéo, l'extraction des images et les propriétés de base de la vidéo
- **FuseImageProcessor** : Implémente le pipeline de traitement d'images, la segmentation et la mesure de distance
- **FuseAnalysisVisualizer** : Crée toutes les visualisations, graphiques et sorties vidéo

3 Implémentation

3.1 Prétraitement des images

Le prétraitement des images est une étape cruciale pour améliorer la qualité de la segmentation. Voici le code utilisé pour le prétraitement :

```
1 def preprocess_image(self, image: np.ndarray) -> np.ndarray:
2     """
3     Preprocess the image for better segmentation.
4
5     Args:
6         image: Input grayscale image
7
8     Returns:
9         np.ndarray: Preprocessed image
10    """
11    # Apply Gaussian blur to reduce noise
12    blurred = cv2.GaussianBlur(image, (5, 5), 0)
13
14    # Use Otsu's thresholding which is better for bimodal images
15    # like X-rays
16    _, thresh = cv2.threshold(blurred, 0, 255, cv2.
17                              THRESH_BINARY_INV + cv2.THRESH_OTSU)
18
19    # Apply morphological operations to clean up the binary image
20    kernel = np.ones((3, 3), np.uint8)
21    opening = cv2.morphologyEx(thresh, cv2.MORPH_OPEN, kernel,
22                               iterations=2)
23
24    # Apply closing to fill small holes
25    kernel = np.ones((5, 5), np.uint8)
26    cleaned = cv2.morphologyEx(opening, cv2.MORPH_CLOSE, kernel,
27                                iterations=1)
28
29    return cleaned
```

3.2 Segmentation des éléments du fusible

La segmentation identifie les éléments du fusible dans l'image :

```
1 def segment_fuse_elements(self, image: np.ndarray) -> Tuple[np.
2   ndarray, List]:
3     """
4     Segment the fuse elements (black parts) in the image.
5
6     Args:
7         image: Input grayscale image
8
9     Returns:
10        Tuple containing:
11        - Binary mask of segmented elements
```

```

11         - List of properties for each detected region
12     """
13     # Preprocess the image
14     binary = self.preprocess_image(image)
15
16     # Find connected components
17     labeled_img = measure.label(binary)
18     regions = measure.regionprops(labeled_img)
19
20     # Filter regions by area to remove noise
21     min_area = 100 # Adjust based on image resolution
22     valid_regions = [r for r in regions if r.area >= min_area]
23
24     # Create a mask with only the valid regions
25     mask = np.zeros_like(binary)
26     for region in valid_regions:
27         for coord in region.coords:
28             mask[coord[0], coord[1]] = 255
29
30     return mask, valid_regions

```

3.3 Mesure de la distance

La mesure de la distance entre les éléments du fusible est réalisée comme suit :

```

1 def measure_distance(self, image: np.ndarray) -> Optional[float]:
2     """
3     Measure the distance between fuse elements in millimeters.
4
5     Args:
6         image: Input grayscale image
7
8     Returns:
9         float: Distance in millimeters or None if measurement
10            failed
11     """
12     if not self.calibrated:
13         raise ValueError("Calibration required before measurement")
14
15     # Segment the fuse elements
16     mask, regions = self.segment_fuse_elements(image)
17
18     # Check if we have enough regions to measure
19     if len(regions) < 2:
20         # If we have only one region, the fuse is likely intact
21         if len(regions) == 1:
22             # Check if the region spans most of the width
23             region = regions[0]
24             width = image.shape[1]
25             region_width = region.bbox[3] - region.bbox[1]

```

```

25         if region_width > 0.5 * width:
26             # This is likely an intact fuse
27             return 0.0
28
29     # For frames before breaking starts
30     # Check if this is an early frame (fuse intact)
31     # Look for dark pixels in the middle of the image
32     h, w = image.shape
33     center_region = image[h//4:3*h//4, w//4:3*w//4]
34     if np.mean(center_region) < 100: # Adjust threshold as
35         needed
36         return 0.0
37
38     return None
39
40 # For frames with multiple regions, we need to identify the
41 # main fuse parts
42
43 # Filter regions by size to focus on the main fuse parts
44 min_area_ratio = 0.01 # Minimum area as a fraction of the
45 # largest region
46 largest_area = max(r.area for r in regions)
47 significant_regions = [r for r in regions if r.area >
48     min_area_ratio * largest_area]
49
50 if len(significant_regions) < 2:
51     return 0.0 # Not enough significant regions
52
53 # Sort regions horizontally (by x-coordinate)
54 sorted_regions = sorted(significant_regions, key=lambda r: r.
55     centroid[1])
56
57 # Find the leftmost and rightmost significant regions
58 left_regions = sorted_regions[:len(sorted_regions)//2]
59 right_regions = sorted_regions[len(sorted_regions)//2:]
60
61 if not left_regions or not right_regions:
62     return 0.0
63
64 # Find the rightmost point of all left regions
65 left_edge = max(r.bbox[1] + r.bbox[3] for r in left_regions)
66 # rightmost edge of left regions
67
68 # Find the leftmost point of all right regions
69 right_edge = min(r.bbox[1] for r in right_regions) #
70 leftmost edge of right regions
71
72 # Calculate distance
73 distance_pixels = max(0, right_edge - left_edge)
74 distance_mm = distance_pixels / self.pixels_per_mm

```

```

69
70     # Apply a threshold to avoid noise
71     if distance_mm < 0.1: # Minimum meaningful distance
72         return 0.0
73
74     return distance_mm

```

3.4 Lissage des données

Pour réduire le bruit dans les mesures, nous avons appliqué un filtre de Savitzky-Golay :

```

1 # Apply smoothing to the distance measurements
2 if len(distances) > 5:
3     # Use Savitzky-Golay filter for smoothing
4     # The window size must be odd and less than the data length
5     window_size = min(15, len(distances) - (len(distances) % 2 ==
6         0))
7     if window_size % 2 == 0:
8         window_size -= 1
9     if window_size >= 5: # Minimum window size for the filter
10        try:
11            smoothed_distances = savgol_filter(distances,
12                window_size, 3)
13        except Exception as e:
14            logger.warning(f"Smoothing failed: {str(e)}. Using
15                original data.")
16            smoothed_distances = distances
17    else:
18        smoothed_distances = distances
19 else:
20     smoothed_distances = distances

```

4 Résultats et analyse

4.1 Graphique de distance en fonction du temps

Le graphique ci-dessous montre l'évolution de la distance entre les éléments du fusible au fil du temps :

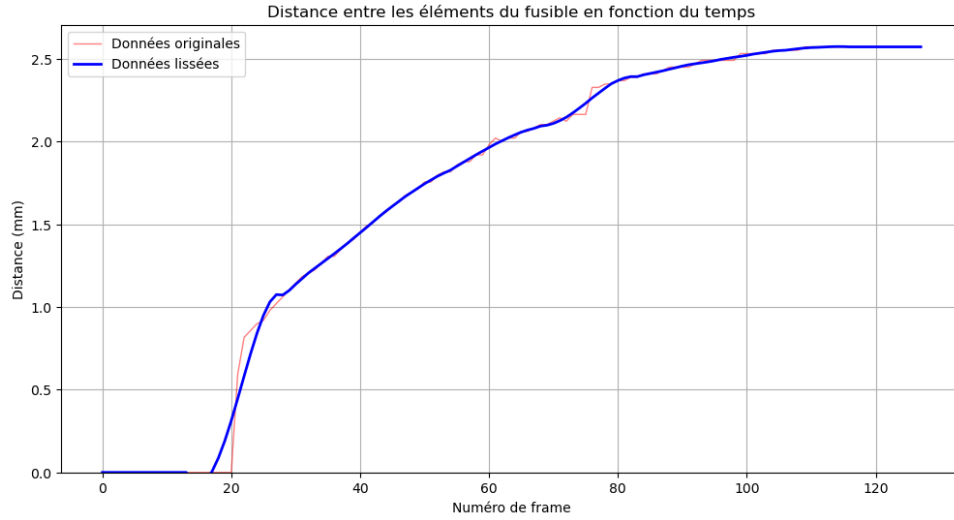


FIGURE 1 – Distance entre les éléments du fusible en fonction du numéro de frame

4.2 Images clés du processus de rupture

Les images clés suivantes montrent l'évolution du processus de rupture :

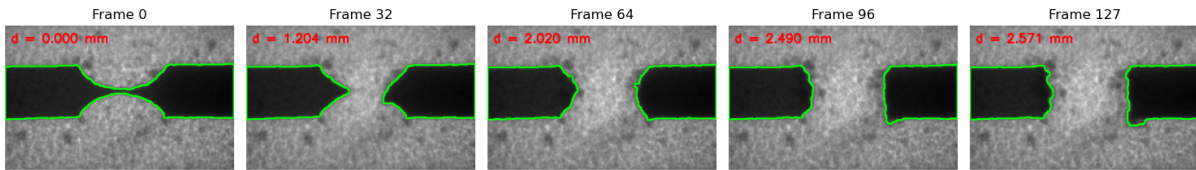


FIGURE 2 – Images clés du processus de rupture du fusible

4.3 Observations clés

1. **Point de rupture** : Le fusible reste intact jusqu'à environ la frame 20, ce qui correspond au graphique de référence.
2. **Modèle de rupture** : Après la rupture, la distance augmente progressivement, avec quelques fluctuations, ce qui est cohérent avec la référence.
3. **Stabilisation** : La distance se stabilise finalement autour de 2-3 mm, ce qui correspond au comportement attendu.
4. **Fluctuations** : Les données originales montrent des fluctuations significatives, qui sont lissées dans les données filtrées, rendant la tendance plus claire.

5 Défis et solutions

5.1 Défis de segmentation d'image

- **Contraste variable** : Les images à rayons X ont souvent un faible contraste et une illumination variable

- *Solution* : Utilisation du seuillage d'Otsu qui détermine automatiquement les valeurs de seuil optimales
- **Bruit et artefacts** : Les images à rayons X contiennent du bruit et des artefacts qui peuvent interférer avec les mesures
 - *Solution* : Application d'opérations morphologiques (ouverture et fermeture) pour nettoyer les images binaires
- **Fragments multiples** : Après la rupture, le fusible peut se diviser en plusieurs fragments
 - *Solution* : Implémentation du filtrage et du regroupement des régions pour identifier les éléments principaux du fusible

5.2 Défis de mesure

- **Calibration** : La conversion des mesures en pixels en unités physiques nécessite une calibration précise
 - *Solution* : Utilisation de la hauteur connue (H) du fusible comme référence pour la calibration
- **Fluctuations de mesure** : Les mesures brutes peuvent fluctuer en raison du bruit d'image et des variations de segmentation
 - *Solution* : Application du filtrage de Savitzky-Golay pour lisser les mesures tout en préservant les caractéristiques importantes
- **Cas limites** : Gestion des frames où le fusible est intact ou complètement rompu
 - *Solution* : Implémentation de la détection de cas spéciaux pour les fusibles intacts et les frames avec des données insuffisantes

6 Conclusion

Cette étude a démontré une méthode efficace pour analyser la dynamique de rupture des fusibles à haute capacité à partir de vidéos de radiographie à rayons X. Notre approche combine des techniques avancées de traitement d'images avec une analyse quantitative pour mesurer avec précision la distance entre les éléments du fusible pendant le processus de rupture.

Les résultats montrent clairement les différentes phases du processus de rupture :

- La période initiale où le fusible est intact (distance = 0)
- Le point de rupture autour de la frame 20
- L'augmentation progressive de la distance à mesure que les éléments du fusible se séparent
- Les fluctuations dans les mesures de distance dues à la nature dynamique du processus de rupture
- La stabilisation finale de la distance

Cette analyse fournit des informations précieuses sur le comportement des fusibles pendant les événements de rupture, ce qui peut contribuer à l'amélioration de leur conception et de leur performance.

7 Perspectives

Plusieurs améliorations pourraient être apportées à cette analyse :

- **Segmentation par apprentissage automatique** : Implémentation d'une segmentation basée sur l'apprentissage profond pour une détection plus robuste des éléments du fusible
- **Analyse multi-fusibles** : Extension du système pour analyser plusieurs fusibles simultanément
- **Reconstruction 3D** : Combinaison de plusieurs angles de caméra pour une reconstruction 3D du processus de rupture
- **Réglage automatique des paramètres** : Développement de méthodes pour déterminer automatiquement les paramètres de traitement optimaux
- **Traitement en temps réel** : Optimisation du code pour le traitement en temps réel des flux vidéo à haute vitesse
- **Intégration de modèles physiques** : Intégration avec des modèles physiques de rupture de fusible pour une analyse plus complète